

文章编号: 1006-9941(2014)05-0654-04

# 1-氨基-3,5-二硝基吡唑的合成、晶体结构及热性能

蒋涛<sup>1,2</sup>, 张晓玉<sup>2</sup>, 景梅<sup>1,2</sup>, 舒远杰<sup>2</sup>, 王军<sup>2</sup>

(1. 西南科技大学材料科学与工程学院, 四川 绵阳 621010; 2. 中国工程物理研究院化工材料研究所, 四川 绵阳 621900)

**摘要:** 以 3,5-二硝基吡唑为原料, 三甲基苯磺酰羟胺 (MSH) 为胺化剂, 合成了 1-氨基-3,5-二硝基吡唑 (ADNP), 收率 60.7%。用 IR、<sup>1</sup>H NMR、<sup>13</sup>C NMR、MS 和元素分析表征了其结构。在乙醇中培养了单晶。用四圆 X 射线衍射仪测定了它的单晶结构: ADNP 属正交晶系, *P*2(1)/*n* 空间群, *a*=5.543(2) Å, *b*=9.866(4) Å, *c*=11.745(5) Å, *Z*=4, *D*<sub>c</sub>=1.79 g·cm<sup>-3</sup>。DSC 结果表明, 两个吸热峰温度分别为 110 °C 和 264 °C; TG 结果表明, 在 170~268 °C 之间为急剧失重过程, 失重 99.1%。

**关键词:** 有机化学; 1-氨基-3,5-二硝基吡唑 (ADNP); 合成; 晶体结构; 热性能

**中图分类号:** TJ55; O62

**文献标志码:** A

**DOI:** 10.3969/j.issn.1006-9941.2014.05.014

## 1 引言

近年来, 硝基吡唑类含能材料由于具有高生成热, 良好的热稳定性和爆轰性能, 得到了广泛关注<sup>[1-3]</sup>。多种硝基吡唑类含能化合物已经相继被合成出来。比如, 3,4-二硝基吡唑<sup>[4-5]</sup>, 3,5-二硝基吡唑 (3,5-DNP)<sup>[4,6-7]</sup>, 3,4,5-三硝基吡唑<sup>[8-10]</sup>, 但关于硝基吡唑氮氨化物的研究还比较少。硝基吡唑的 1 位 N 上 H 比较活泼, 因此在 1 位引入氨基等官能团成为可能<sup>[11]</sup>。引入氨基可以形成分子内和分子间氢键, 提高化合物的热稳定性, 降低感度; 同时由于 N—N 键的存在, 可以增加生成热。硝基吡唑氮氨化物还是重要的中间体, 因为氨基可以进一步形成硝氨基<sup>[12]</sup>、三硝基乙氨基<sup>[13]</sup>等含能基团, 因此对硝基吡唑氮氨化物研究具有重大意义。

2014 年, ZHAO Xiu-xiu 等人<sup>[14]</sup>报道了 1-氨基-3,5-二硝基吡唑 (ADNP) 的合成方法, 以 3,5-DNP 为原料, 对甲基苯磺酰羟胺 (THA) 作为胺化试剂与 3,5-DNP 的铵盐反应, 得到 ADNP, 收率 50%, 该法存在反应时间长, 后处理麻烦, 产率低等不足。本研究对其合成方法进行了改进, 以 3,5-DNP 为原料, 三甲基

苯磺酰羟胺 (MSH) 为氨化试剂与 3,5-DNP 的钠盐反应得到 ADNP, 并研究了其晶体结构及热性能。

## 2 实验部分

### 2.1 仪器和试剂

3,5-DNP, 自制<sup>[4]</sup>, MSH, 自制<sup>[15]</sup>, *N,N*-二甲基甲酰胺 (DMF)、乙酸乙酯、NaOH 均为分析纯, 以上试剂均来自成都市联合化工试剂厂。熔点用 Büchi B-545 熔点仪测定, 温度未校正, ADNP 的晶体结构用德国 Bruker SMART APEX CCD II 型单晶 X 射线衍射仪测定, 元素分析、红外、质谱及核磁分别用德国 Elementar 公司 Vario EL III 型自动微量有机元素分析仪、美国热电公司 Nicolet 6700 红外光谱仪 (KBr 压片)、美国瓦里安公司 Varian 325 LC-MS 液相色谱-质谱联用仪及德国 Bruker AV II-400 MHz 核磁共振波谱仪。热性能用美国 PE 公司差示扫描量热仪 (DSC) PE Diamond、TA 公司 TGAQ500 型热分析仪测定。

### 2.2 ADNP 的合成和表征

将 **1** (1.58 g, 0.01 mol) 和 NaOH (0.40 g, 0.01 mol) 溶于 40 mL 蒸馏水中, 常温下搅拌 2 h, 真空旋干, 得到钠盐 **2**。冰浴条件下, 将 **2** 溶于 40 mL 无水 DMF 中, 搅拌, 逐滴加入预先配制好的 MSH (4.3 g, 0.02 mol) 的无水 DMF 溶液, 0 °C 反应 3 h, 然后升至室温反应 20 h, 减压蒸馏, 用乙酸乙酯洗涤, 析出沉淀, 过滤, 收集滤液, 减压蒸馏, 得粗产物 **3**; 用蒸馏水重结晶, 得浅黄色针状晶体 1.05 g, 收率 60.7%,

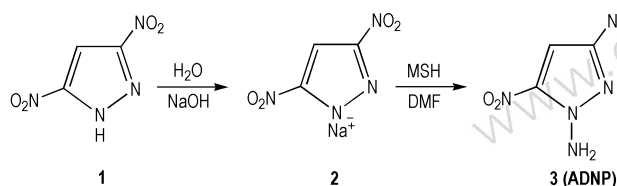
收稿日期: 2014-03-10; 修回日期: 2014-03-25

基金项目: 中物院科学技术发展基金 (2012B0302036, 2013B0302039)

作者简介: 蒋涛 (1988-), 男, 硕士研究生, 主要从事新型含能材料的合成及性能研究。e-mail: jiangtao19880706@sina.com

通信联系人: 王军 (1970-), 男, 副研究员, 主要从事先进含能材料的设计、合成及性能研究。e-mail: wj19701023@sina.com

m. p. 111 ~ 113 °C。 $^1\text{H}$  NMR(DMSO- $d_6$ ) $\delta$ : 7.89 (s, 2H, NH<sub>2</sub>); 8.01 (s, 1H, C—H);  $^{13}\text{C}$  NMR(DMSO- $d_6$ ) $\delta$ : 101.2 (s, 4—C); 141.6 (s, 3—C); 147.2 (s, 5—C)。IR (KBr,  $\nu/\text{cm}^{-1}$ ): 3355, 3288, 1690 (—NH<sub>2</sub>), 3154 (—NH), 1508, 1357 (—NO<sub>2</sub>), 1556, 850, 728 (Pyrazole)。MS (ESI,  $m/z$ ): 172.0114 [M—H]<sup>-</sup>。元素分析 C<sub>3</sub>H<sub>3</sub>N<sub>5</sub>O<sub>4</sub> (%): 计算值 C 20.81, H 1.75, N 40.46, 实测值 C 21.02, H 1.83, N 40.32。



Scheme 1

### 2.3 ADNP 晶体的培育和结构测试

取适量 ADNP 溶解于无水乙醇中, 室温静置, 缓慢挥发 10 天, 得到淡黄色针状晶体。选用尺寸为 0.211 mm×0.175 mm×0.123 mm 的单晶, 在 X 射线单晶衍射仪上, 用经石墨单色器单色化的 MoK $\alpha$  射线 ( $\lambda = 0.71073 \text{ \AA}$ ) 辐射, 在 293(2) K 下用  $\omega/2\theta$  方式扫描, 在  $2.70^\circ \leq \theta \leq 26.00^\circ$ ,  $-6 \leq h \leq 6$ ,  $-12 \leq k \leq 12$ ,  $-11 \leq l \leq 14$  范围内共收集到 3760 个衍射点, 其中独立衍射点 1254 个 ( $R_{\text{int}} = 0.0692$ )。其中  $l > 2\sigma(l)$  的 1197 个可观察点用于结构测定和修正。晶体结构的解析和结构修正分别用 SHELXS-97 (Sheldrick, 1990) 和 SHELXL-97 (Sheldrick, 1997) 程序完成。

## 3 结果与讨论

### 3.1 ADNP 的晶体结构分析

单晶结构分析结果表明: ADNP 属于正交晶系,  $P2(1)/n$  空间群,  $a = 5.543(2) \text{ \AA}$ ,  $b = 9.866(4) \text{ \AA}$ ,  $c = 11.745(5) \text{ \AA}$ ,  $Z = 4$ ,  $V = 642.3(4) \text{ \AA}^3$ ,  $D_c = 1.790 \text{ g} \cdot \text{cm}^{-3}$ ,  $F(000) = 352$ ,  $S = 1.082$ ,  $\mu(\text{MoK}\alpha) = 0.165 \text{ mm}^{-1}$ 。  $w = 1/[s^2(Fo^2) + (0.0415P)^2 + 0.045P]$ ,  $P = (Fo^2 + 2Fc^2)/3$ 。最终偏离因子  $R_1 = 0.0437$ ,  $wR_2 = 0.0922$ 。最终差值 Fourier 图上的最高峰  $(\Delta P)_{\text{max}} = 0.333 \text{ e} \cdot \text{\AA}^{-3}$ , 最低峰  $(\Delta P)_{\text{min}} = -0.313 \text{ e} \cdot \text{\AA}^{-3}$ 。

晶体的分子结构和晶胞堆积如图 1 和图 2 所示。键长、键角、扭转角及氢键参数分别见表 1 ~ 表 4。从图 1 可见, ADNP 分子中, C(1)、C(2)、C(3)、N(1)、

N(2) 在同一平面上。表 1 中的键长结果显示, 环上碳原子与硝基相连的 N(5)—C(3)、N(4)—C(1) 键长分别为  $1.440(2) \text{ \AA}$  和  $1.437(2) \text{ \AA}$ , 比一般的 C—N 键 ( $1.470 \text{ \AA}$ ) 短, 表明硝基与环的作用力比较强。整个分子中 C(3)—N(5) 键长 ( $1.440(2) \text{ \AA}$ ) 最长, 表明环上 C(3)—NO<sub>2</sub> 键最易断裂, 发生分解。由表 3 可见, O(2)—N(4)—C(1)—C(2), O(1)—N(4)—C(1)—N(2), O(4)—N(5)—C(3)—C(2), O(3)—N(5)—C(3)—N(1) 的扭转角分别是  $-9.6(3)^\circ$ ,  $-9.0(3)^\circ$ ,  $5.5(3)^\circ$ ,  $4.7(2)^\circ$ , 表明硝基的所有原子与吡唑环几乎共平面, 这也预示着 ADNP 分子具有较好的稳定性。受氨基的影响, 与氨基相邻的硝基与吡唑环形成的扭转角 O(2)—N(4)—C(1)—C(2) 最大, 为  $-9.6^\circ$ 。从分子的晶胞堆积(图 2)和氢键参数(表 4)可以看出, ADNP 中氨基上 N、H 原子与相邻分子之间形成较强的分子间氢键 N(3)—H(3)⋯O(1) 和 N(3)—H(3)⋯O(3), N(3)—H(3)⋯N(3), 这些氢键相互连接形成三维超分子拓扑结构, 有助于增加分子稳定性。

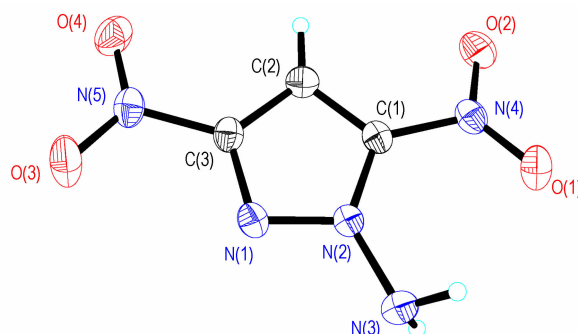


图 1 ADNP 的分子结构

Fig. 1 Molecular structure of ADNP

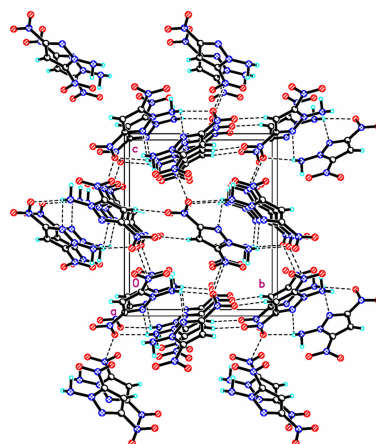


图 2 ADNP 的晶胞堆积图

Fig. 2 Packing of ADNP molecule in the crystal lattice

表 1 ADNP 的键长

Table 1 Bond lengths for ADNP

bond	length/Å
N(1)—C(3)	1.319(2)
N(1)—N(2)	1.324(2)
N(2)—N(3)	1.390(2)
N(3)—H(3A)	0.92(3)
C(1)—C(2)	1.354(2)
C(2)—C(3)	1.377(3)
N(2)—C(1)	1.363(2)
N(3)—H(3B)	0.88(3)
C(2)—H(2A)	0.9300

表 2 ADNP 的键角

Table 2 Bond angles for ADNP

bond	angle/(°)
C(3)—N(1)—N(2)	103.87(14)
N(1)—N(2)—C(1)	110.83(14)
C(1)—N(2)—N(3)	131.66(16)
C(2)—C(1)—N(2)	108.70(15)
N(2)—C(1)—N(4)	124.22(15)
C(1)—C(2)—C(3)	102.14(16)
C(3)—C(2)—H(2A)	128.9
N(1)—C(3)—C(2)	114.47(15)
C(2)—C(3)—N(5)	126.21(16)
N(1)—N(2)—N(3)	117.49(15)
C(2)—C(1)—N(4)	127.06(17)
C(1)—C(2)—H(2A)	128.9
N(1)—C(3)—N(5)	119.31(16)

表 3 ADNP 的扭转角

Table 3 Torsion angles for ADNP

bond	torsion angle/(°)
C(3)—N(1)—N(2)—C(1)	0.25(17)
C(3)—N(1)—N(2)—N(3)	-178.38(15)
N(3)—N(2)—C(1)—C(2)	178.16(18)
N(1)—N(2)—C(1)—N(4)	178.14(15)
O(1)—N(4)—C(1)—C(2)	169.07(17)
O(2)—N(4)—C(1)—C(2)	-9.6(3)
O(2)—N(4)—C(1)—N(2)	172.37(15)
N(2)—C(1)—C(2)—C(3)	0.08(18)
N(2)—N(1)—C(3)—C(2)	-0.20(18)
N(2)—N(1)—C(3)—N(5)	-178.98(14)
C(1)—C(2)—C(3)—N(5)	178.76(16)
O(4)—N(5)—C(3)—N(1)	-175.84(15)
O(4)—N(5)—C(3)—C(2)	5.5(3)
O(3)—N(5)—C(3)—C(2)	-173.96(17)
N(1)—N(2)—C(1)—C(2)	-0.22(19)
O(1)—N(4)—C(1)—N(2)	-9.0(3)
N(3)—N(2)—C(1)—N(4)	-3.5(3)
N(4)—C(1)—C(2)—C(3)	-178.21(15)
C(1)—C(2)—C(3)—N(1)	0.07(19)
O(3)—N(5)—C(3)—N(1)	4.7(2)

表 4 ADNP 的氢键参数

Table 4 Hydrogen bond parameters of ADNP

D—H...A	$d(D-H)$ /Å	$d(H...A)$ /Å	$d(D...A)$ /Å	$\angle(D-H-A)$ /(°)
N(3)—H(3B)...N(1)	0.88(3)	2.60(3)	3.225(3)	128(2)
N(3)—H(3B)...O(1)	0.88(3)	2.40(3)	2.852(3)	112.3(18)
N(3)—H(3B)...O(3)	0.88(3)	2.37(3)	3.193(3)	155(2)

### 3.2 TG-DSC 分析

TG-DSC 测试在敞开样品池、N<sub>2</sub> 氛围条件下进行,流速 30 mL·min<sup>-1</sup>,样品质量 1.64 mg,升温速率 10 °C·min<sup>-1</sup>,温度范围 50~400 °C。测试结果如图 3 所示。DSC 曲线显示,在 108~113 °C 范围内有一个明显熔融吸热峰,该峰值温度 110 °C 为 ADNP 的熔点,与熔点仪测试结果(111~113 °C)一致。随着温度的升高,在 170~268 °C 之间还有一个吸热峰,该峰值温度 264 °C。TG 曲线表现为急剧的失重过程,失重 99.1%。在氮气流开放状态下,可能随着温度的升高,氮气流的吹带下 ADNP 发生了汽化,因此未出现放热峰。

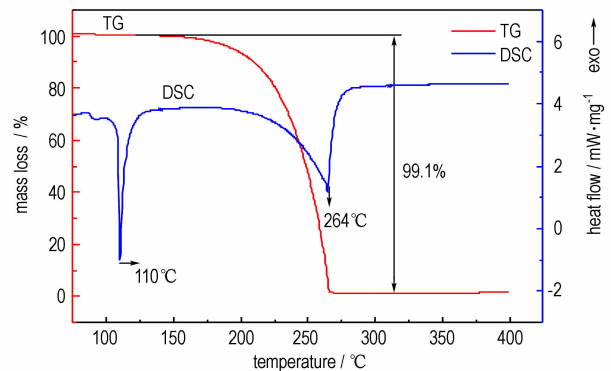


图 3 ADNP 的 TG-DSC 曲线

Fig. 3 TG-DSC curves of ADNP

## 4 结论

以 3,5-DNP 为原料,MSH 为氨化试剂合成了 ADNP。本方法明显缩短反应时间,反应 25 h,简化了后处理过程,采用蒸馏水进行重结晶,收率从文献[14]的 50% 提高到了 60.7%。采用红外、核磁、质谱和元素分析手段进行表征,晶体结构测试结果表明,ADNP 属于正交晶系,  $P2(1)/n$  空间群,  $a = 5.543(2)$  Å,  $b = 9.866(4)$  Å,  $c = 11.745(5)$  Å,  $Z = 4$ ,  $D_c = 1.79$  g·cm<sup>-3</sup>,整个分子有较好共面性,分子间氢键作用较强,有利于增强分子稳定性,降低感度。TG-DSC 测试结果表明,ADNP 的两个吸

热峰峰温分别为 110 °C 和 264 °C, 在 170 ~ 268 °C 之间为急剧的失重过程, 失重 99.1%, 说明该化合物热稳定性良好, 有望作为低感的含能化合物。

#### 参考文献:

- [1] Agrawal J P, Hodgson R. *Organic Chemistry of Explosives*[M]. John Wiley: New York, 2007: 294-296.
- [2] Pagoria P F, Lee J S, Mitchell A R, et al. A review of energetic materials synthesis[J]. *Thermochim Acta*, 2002, 384: 187.
- [3] Shevelev S A, Dalinger I L, Shkineva T K, et al. Nitropyrazoles [J]. *Russ Chem Bull*, 1993, 42: 1063.
- [4] Janssen, J W A M, Koeners H J, et al. Pyrazoles. XII. The preparation of 3(5)-nitropyrazoles by thermal rearrangement of N-nitropyrazoles[J]. *J Org Chem*, 1973, 38 (10): 1777-1782.
- [5] Stefan E K, Wahlström L Y, et al. Derivatives of 3(5),4-dinitropyrazole as potential energetic plasticisers[J]. *Chem Eng*, 2011, 5: 929-935.
- [6] Xi Li-min, ZHANG Xin-xin. Direct synthesis of 3,5-dinitropyrazole catalyzed by newly sulfated nanosolid superacid TiO<sub>2</sub>/SO [J]. *Advanced Materials Research Vols*, 2012, 391: 1296-1301.
- [7] Lebedev V P, Matyushim Y N, Inolemtcev Y D. Thermochemical and explosive properties of nitropyrazoles[C]// Int ICT Conference on Energetic Materials, Russia, 1998: 180.
- [8] Herve G, Roussel C, Graindorg H. Selective preparation of 3,4,5-trinitro-1H-pyrazole: a stable all carbon-nitrated arene [J]. *Angew Chem Int Ed*, 2010, 49: 3177-3181.
- [9] Dalinger I L, Popova G P, Vatsadze I A, et al. Synthesis of 3,4,5-trinitropyrazole[J]. *Russian Chemical Bulletin, International Edition*, 2009, 58 (10): 2185.
- [10] Dalinger I L, Vatsadze I A, Shkineva T K. The specific reactivity of 3,4,5-trinitro-1H-pyrazole[J]. *Mendeleev Commun*, 2010, 20: 253-254.
- [11] Ravi P, Gore G M, Venkatesan V, et al. Theoretical studies on the structure and detonation properties of amino-, methyl-, and nitro-substituted 3,4,5-trinitro-1H-pyrazoles[J]. *Journal of Hazardous Materials*, 2010, 183: 859-865.
- [12] Duddu R, Dave P R, Damavarapu R, et al. Synthesis of N-amino- and N-nitramino-nitroimidazoles [J]. *Tetrahedron Letters*, 2010, 51: 399-401.
- [13] YIN Ping, ZHANG Qing-hua, ZHANG Jia-heng, et al. N-trinitroethylamino functionalization of nitroimidazoles: a new strategy for high performance energetic materials[J]. *Mater Chem A*, 2013, 1: 7500-7510.
- [14] ZHAO Xiu-xiu, QI Cai, ZHANG Lu-bo, et al. Amination of nitroazoles-a comparative study of structural and energetic properties[J]. *Molecules*, 2014, 19: 896-910.
- [15] 马卿, 王军, 张晓玉, 等. 2,4,6-三甲基苯磺酰羟胺的合成与性能[J]. *含能材料*. 2013, 21 (1): 133-134.
- MA Qing, WANG Jun, ZHANG Xiao-yu, et al. Synthesis and properties of 2,4,6-trimethylbenzenesulfonic hydroxylamine[J]. *Chinese Journal of Energetic Materials(Hanneng Cailiao)*, 2013, 21 (1): 133-134.

## Synthesis, Crystal Structure and Thermal Property of 1-Amino-3, 5-dinitropyrazole

JIANG Tao<sup>1,2</sup>, ZHANG Xiao-yu<sup>2</sup>, JING Mei<sup>1,2</sup>, SHU Yuan-jie<sup>2</sup>, WANG Jun<sup>2</sup>

(1. School of Materials Science and Engineering, Southwest University of Science and Technology, Mianyang 621010, China; 2. Institute of Chemical Materials, CAEP, Mianyang 621900, China)

**Abstract:** 1-Amino-3, 5-dinitropyrazole (ADNP) was synthesized using 3, 5-dinitropyrazole as raw material and 2,4,6-trimethylbenzenesulfonic hydroxylamine (MSH) as aminating agent with a yield of 60.7%. Its structure was characterized by IR, NMR, MS and element analyses. The single crystal was cultivated in ethanol. Its single crystal structure was determined by a four-circle X-ray diffractometer. Its thermal properties were studied by TG-DSC. Results show that the crystal is orthorhombic, space group *P*2 (1)/*n* with crystal parameters of  $a=5.543(2)\text{Å}$ ,  $b=9.866(4)\text{Å}$ ,  $c=11.745(5)\text{Å}$ ,  $Z=4$ ,  $D_c=1.79\text{ g}\cdot\text{cm}^{-3}$ ,  $V=642.3(4)\text{Å}^3$ . Thermal analyses demonstrate that there is a sharp mass loss process from 170 °C to 266 °C with 99.1% mass loss. The two endothermic peaks temperatures appear at 110 °C and 264 °C.

**Key words:** organic chemistry; 1-amino-3,5-dinitropyrazole(ADNP); synthesis; crystal structure; thermal property

**CLC number:** TJ55; O62

**Document code:** A

**DOI:** 10.3969/j.issn.1006-9941.2014.05.014